

## Jornada sobre ECONOMÍA CIRCULAR de los IUIs de la Universidad de Zaragoza



### Modelización matemática en el contexto de la economía circular

Carmen Galé

Departamento de Métodos Estadísticos

26 de noviembre de 2021



Instituto Universitario de Investigación  
**de Matemáticas  
y Aplicaciones**  
**Universidad** Zaragoza

# Del modelo lineal al circular

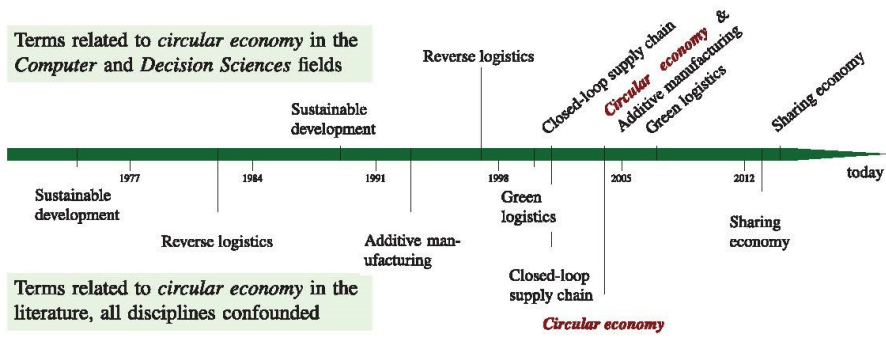
## Modelo lineal:



## Modelo Circular:



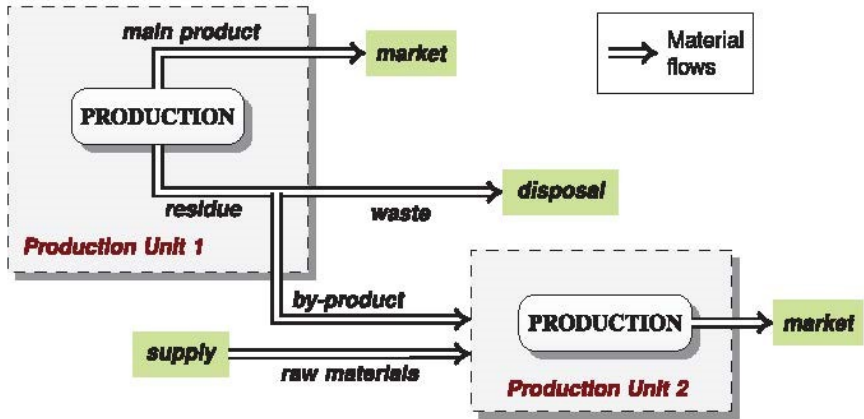
# Economía circular hasta hoy



Suzanne et al. (2020)

La Economía Circular se aproxima desde múltiples disciplinas: la ciencia medioambiental, la energía, la ingeniería o la gestión de recursos.

# Planificación de la producción: cálculo de lote óptimo



Suzanne et al. (2020)

## Planificación de la producción: cálculo de lote óptimo

En un sistema de producción, un producto principal 0 conlleva la generación de  $K$  co-productos en una proporción  $\alpha_k$  para el co Producto  $k$  ( $\alpha_0 = 1$ ).

### Datos

- $d_t^k$  La demanda del producto  $k$  en el periodo  $t$ .
- $f_t$  El coste fijo de lanzar la producción en  $t$ .
- $c_t^k$  El coste variable de producción de una unidad de producto  $k$ .
- $h_t^k$  El coste de mantenimiento por unidad de producto  $k$  al final del periodo  $t$ .

### Variables de decisión

- $Y_t$  toma el valor 1 si se decide producir en el periodo  $t$ .
- $X_t$  producción en el periodo  $t$ .
- $I_t^k$  nivel de inventario del producto  $k$  al final del periodo  $t$ .

## Modelo de optimización para el cálculo del tamaño de lote

$$\min \quad \sum_{t=1}^T \left( f_t Y_t + \sum_{k=0}^K (c_t^k x_t + h_t^k l_t^k) \right)$$

$$\text{sujeto a: } l_0^k = 0, \quad k = 0, \dots, K$$

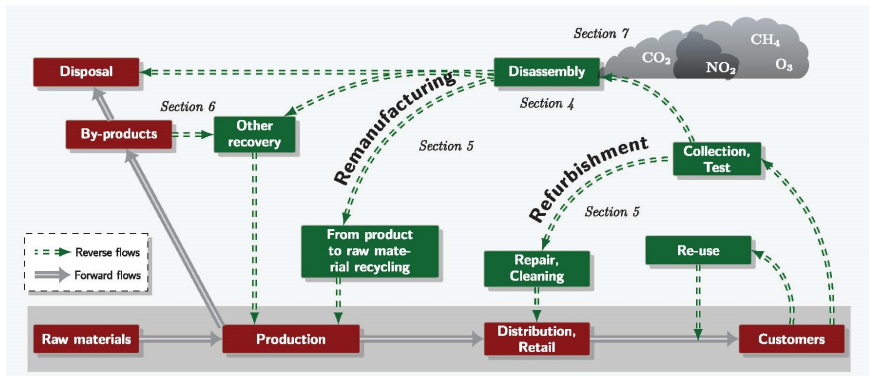
$$l_{t-1}^k + \alpha_k x_t = l_t^k + d_t^k, \quad t = 1, \dots, T, k = 0, \dots, K$$

$$x_t \leq Q y_t, \quad t = 1, \dots, T$$

$$x_t, l_t^k \geq 0, y_t \in \{0, 1\} \quad t = 1, \dots, T, k = 0, \dots, K$$

$$\text{donde } Q = \max_k \frac{d_t^k}{\alpha_k}.$$

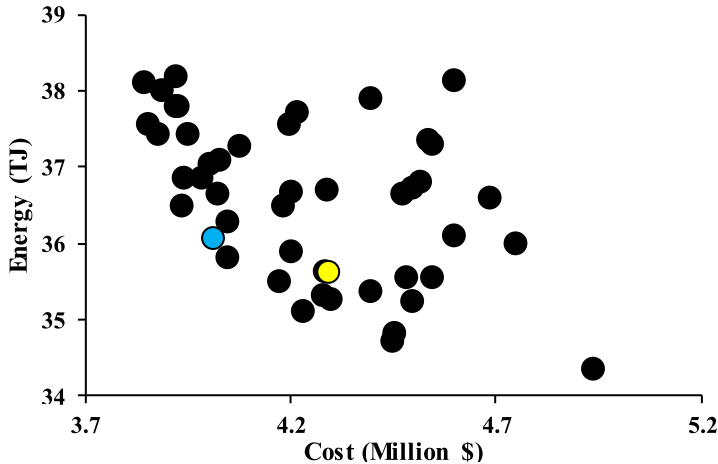
# Diseño de la cadena de suministro de ciclo cerrado



Suzanne et al. (2020)

La EC rediseña el enfoque de producción lineal.

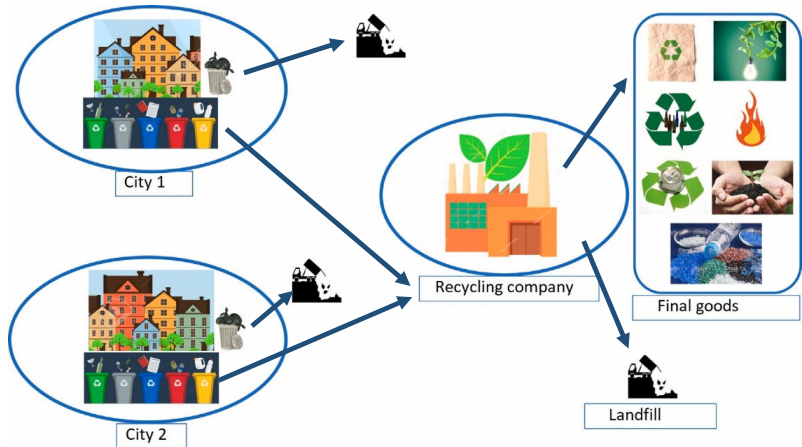
# Programación matemática multiobjetivo



Atabaki et al. (2020)

Soluciones eficientes y soluciones compromiso.

# Gestión de residuos en zonas urbanas



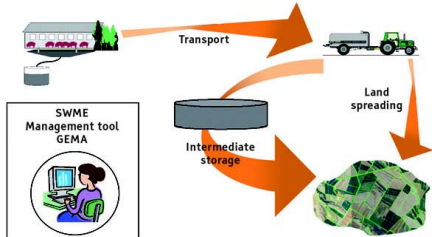
Allevi et al. (2020)

# Modelo binivel de establecimiento de precios

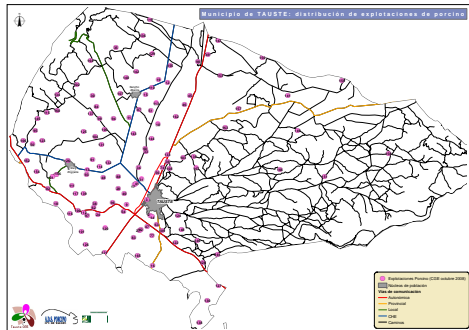


LIFE ES-WAMAR PROJECT

- La valorización del purín como un recurso de fertilización orgánico.
- La creación de un Centro Gestor de Estiércoles (CGE).



# Modelo binivel de establecimiento de precios



- 350000 m<sup>3</sup> de purín.
- 13000 Has de campos.

Los agentes son el centro gestor (CGE), los ganaderos (G) y los agricultores (A).

# Modelo de optimización binivel con múltiples seguidores

## Conjuntos

$T$  periodos de tiempo en un año.

$K$  tipos de cultivos.

$J$  conjunto de campos.

$I$  conjunto de granjas.

## Datos

$V$  capacidad en  $m^3$  de los vehículos del CGE.

$NH_k$  kg de Nitrógeno por Ha precisos para el cultivo  $k$ .

$T(k)$  periodos de tiempo en los que se fertiliza el cultivo  $k$ .

$A_{jk}$  número de hectáreas en el campo  $j$  con cultivo  $k$ .

$v_i$  capacidad en  $m^3$  de la balsa en la granja  $i$ .

$O_i^t$   $m^3$  de purín producidos en el periodo  $t$  en la granja  $i$ .

$NV_i^t$  kg de Nitrógeno/ $m^3$  de purín en el periodo  $t$  en la granja  $i$ .

$J(i)$  conjunto de campos cerca de la granja  $i$ .

## Modelo de optimización binivel con múltiples seguidores

### Variables de decisión del CGE

$TA_j$  precio por kg de Nitrógeno aplicado al campo  $j$ .

$TG_i$  precio por  $m^3$  de purín gestionado en la granja  $i$ .

### Variables de decisión de los ganaderos y agricultores

$y_i$  Toma el valor 1 si la granja  $i$  utiliza el CGE.

$y_{ij}^t$   $m^3$  enviados desde la granja  $i$  al campo  $j$  en el periodo  $t$  sin utilizar el CGE.

$x_{ij}^t$   $m^3$  enviados desde  $i$  a  $j$  en  $t$  por el CGE.

$x_i^t$   $m^3$  en la balsa de la granja  $i$  al finalizar  $t$ .

## Problema de optimización del CGE

$$\max_{TA_j, TG_i} W_1 g_1^+ + \sum_{i \in I} Wl_{2i}(gg_{2i}^- + gg_{2i}^+) + \sum_{j \in J} WJ_{2j}(ga_{2j}^- + ga_{2j}^+)$$

sujeto a:  $B - g_1^+ = Z$

$$TG_i + gg_{2i}^- - gg_{2i}^+ = \frac{\sum_{i \in I} TG_i}{I} \quad i \in I$$

$$TA_j + ga_{2j}^- - ga_{2j}^+ = \frac{\sum_{j \in J} TA_j}{J} \quad j \in J$$

$$x_{ij}^t \leq n_{ij}^t V, \quad i \in I, j \in J(i), t \in T$$

donde  $\{x_{ij}^t, y_{ij}^t, x_i^t, y_i\}$  resuelven el problema de agricultores y ganaderos

# Problema de optimización de agricultores y ganaderos

$$\min_{x_{ij}^t, y_{ij}^t, y_i, x_i^t} \sum_{i \in I, j \in L(i)} (\textcolor{red}{TG}_i + \textcolor{red}{TA}_j) x_{ij}^t + d_{ij}^t y_{ij}^t$$

sujeto a:  $x_i^0 = 0$

$$\sum_{j \in L(i)} (x_{ij}^t + y_{ij}^t) + x_i^t = O_i^t + x_i^{t-1}, \quad t \in T$$

$$x_{ij}^t \leq y_i O_i^t, \quad t \in T$$

$$\sum_{t \in T} \sum_{j \in L(i)} x_{ij}^t \geq y_i \frac{P}{100} \sum_{t \in T} O_i^t$$

$$x_i^t \leq v_i, \quad t \in T$$

$$\sum_{i \in I: j \in L(i)} N V_i^t (x_{ij}^t + y_{ij}^t) \geq \sum_{k \in K: t \in T(k)} A_{jk} N H_k, \quad t \in T, j \in J$$

$$x_{ij}^t, y_{ij}^t, x_i^t \geq 0, y_i \in \{0, 1\}, \quad j \in L(i), t \in T$$

# Modelo simple basado en datos históricos

Escenarios: Precios fijos o variables.

Datos

- $V_n$   $\text{m}^3$  gestionados en un año a granjas con calidad promedio en el intervalo  $n$ .
- $A_k$  kg de Nitrógeno aplicados en un año en la zona de distancia  $k$ .
- $C_T$  coste total
- $T_S$  euros por kg de Nitrógeno del abono químico.

VARIABLES DE DECISIÓN

- $TG_n$  precio por  $\text{m}^3$  gestionado con calidad promedio en el intervalo  $n$ .
- $TA_k$  precio por kg de Nitrógeno aplicadas en un año en la zona de distancia  $k$ .

Modelos

- $r$  margen de beneficio del CGE ( $r \in [0, 1]$ ).
- $\delta$  porcentaje del precio de kg de nitrógeno del abono químico ( $\delta \in [0, 1]$ ).

Restricciones añadidas.

## Modelo simple basado en datos históricos

$$\min_{TA, TF} \quad (d, TG_1)$$

sujeto a:  $\sum_n TG_n V_n + \sum_k TA_k(0,6A_k) - (1+r)C_T \geq d$

$$TA_k \leq \delta T_S, \quad k = 1, 2, 3, 4$$

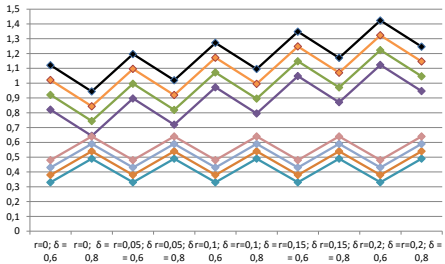
$$0,25 \left( \sum_n TG_n V_n + \sum_k TA_k(0,6A_k) \right) = \sum_k TA_k(0,6A_k)$$

$$TA_k \geq TA_{k-1} + 0,05, \quad k = 2, 3, 4$$
$$TG_n \geq TG_{n+1} + 0,1, \quad n = 1, 2, 3$$

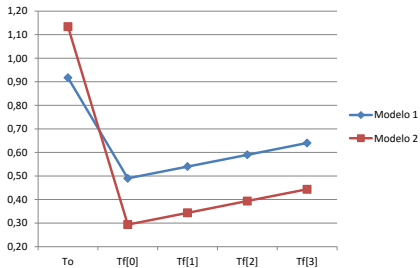
$$TA_k, TG_n, d \geq 0, \quad n, k = 1, 2, 3, 4$$

# Modelo simple basado en datos históricos

Escenario 4, Modelo 1



Escenario 2





thank you

A circular arrangement of words in different languages, all meaning 'thank you' or similar expressions of gratitude:

- Top row: danke (German), 謝謝 (Chinese), ngiyabonga (Swahili), teşekkür ederim (Turkish), gracias (Spanish), and apărat leat (Hungarian).
- Middle row: спасибо (Russian), ありがとうございます (Japanese), dan (Dutch), mersi (Romanian), misaotra (Portuguese), and misericordia (Portuguese).
- Second middle row: -Csak köszönök! (Hungarian), အေဒီအေ (Burmese), សារិយា (Khmer), សូមអាសយដ្ឋាន (Khmer), sulpay (Quechua), and go raibh maith agat (Irish).
- Third middle row: အေဒီအေ (Burmese), សូមអាសយដ្ឋាន (Khmer), សូមអាសយដ្ឋាន (Khmer), សូមអាសយដ្ឋាន (Khmer), សូមអាសយដ្ឋាន (Khmer), and សូមអាសយដ្ឋាន (Khmer).
- Bottom row: မេស៊ី (Khmer), សូមអាសយដ្ឋាន (Khmer), សូមអាសយដ្ឋាន (Khmer), សូមអាសយដ្ឋាន (Khmer), សូមអាសយដ្ឋាន (Khmer), and សូមអាសយដ្ឋាន (Khmer).

## Referencias

- Ağrah, S. A dynamic uncapacitated lot-sizing problem with co-production. Optimization Letters 6: 1051-1061, 2012.
- Allevi et al. Municipal solid waste management in circular economy: A sequential optimization model. Energy Economics 100, 105383, 2021.
- Atabaki et al. New robust optimization models for closed-loop supply chain of durable products: Towards a circular economy. Computers & Industrial Engineering 146, 106520, 2020.
- Boulding, K.E. The economics of the coming spaceship earth. Environ. Qual. Grow. Eco. Essays from the Sixth RFF Forum 3-14, 1966.
- Calvete, H.I. et al. Optimization models for pricing in a waste management company. 27<sup>th</sup> European Conference on Operational Research, 2015.
- Geissdoerfer, M. et al. Circular business models: A review. Journal of Cleaner Production 277, 123741, 2020.
- Pearce, D., Turner, R. Economics of Natural Resources and the Environment. Johns Hopkins University Press, Baltimore, 1989.
- Schroeder et al. The Relevance of Circular Economy Practices to the Sustainable Development Goals. Journal of Industrial Ecology 23(1), 77-95, 2018.
- Stahel, W., Reday, G. The Potential for Substituting Manpower for Energy. Final report 30 July 1977 for the Commission of the European Communities, 1976.
- Suzanne, E. et al. Towards circular economy in production planning: Challenges and opportunities. European Journal of Operational Research 287, 168-190, 2020.